

10

E-NETT 2011

การประชุมวิชาการ เครือข่ายพลังงานแห่งประเทศไทย ครั้งที่ 7

7th Conference on Energy Network of Thailand

- Renewable Energy
- Energy Conservations
- Applied Energy
- Energy Policy
- Energy and Ceramic Materials
- Environment Management

Proceeding Volume II

Main Menu

3-5 พฤษภาคม 2554

ณ Phuket Orchid Resort and Spa หาดกะรน อัจฉริยาภูมิ
ท่านนิมกรโถ

คณะวิศวกรรมศาสตร์ มหาวิทยาลัยเทคโนโลยีราชมงคลชั้นนำ



เครือข่ายพลังงานแห่งประเทศไทย(E-NETT)

E-NETT

Main Menu

- มหาวิทยาลัยเทคโนโลยีพระจอมเกล้าธนบุรี
- มหาวิทยาลัยเชียงใหม่
- วิศวกรรมศาสตร์มหาวิทยาลัย
- สถาบันเทคโนโลยีอินโดนีเซีย
- สถาบันเทคโนโลยีพระจอมเกล้าเจ้าคุณทหารลาดกระบัง
- มหาวิทยาลัยเกษตรศาสตร์
- มหาวิทยาลัยธรรมศาสตร์
- มหาวิทยาลัยศรีปักษ์
- มหาวิทยาลัยรัตนโกสินทร์
- มหาวิทยาลัยสุรนารี
- มหาวิทยาลัยขอนแก่น
- มหาวิทยาลัยเชียงราย
- มหาวิทยาลัยพะเยา (วิทยาลัยทักษิณกาฬฯ)
- มหาวิทยาลัยสงขลานครินทร์
- มหาวิทยาลัยมหาสารคาม
- มหาวิทยาลัยหกชั้น
- มหาวิทยาลัยแม่โจ้
- มหาวิทยาลัยเทคโนโลยีไทย-
- มหาวิทยาลัยธุรกิจบัณฑิต
- มหาวิทยาลัยอุบลราชธานี
- มหาวิทยาลัยเทคโนโลยีมหาสารคาม
- มหาวิทยาลัยเทคโนโลยีราชภัฏวิริยะ
- มหาวิทยาลัยเทคโนโลยีราชมงคลเชียงใหม่
- มหาวิทยาลัยเทคโนโลยีราชมงคลเชียงบุรี
- มหาวิทยาลัยสงขลานครินทร์

ผู้ทรงคุณวุฒิเครือข่ายหลังงานแห่งประเทศไทย

E-NETT 2011

Main menu

E-NETT ๒๐๑๑ ผู้ทรงคุณวุฒิเครือข่ายพลังงานแห่งประเทศไทย

Main Menu

ผู้ทรงคุณวุฒิเครื่อข่ายพลังงานแห่งประเทศไทย

E-NETT 2011

Main Menu

สารบัญ

หน้า

Session ประชุม ท่าฯ พัฒนาการ	Energy Conservations 04 ผู้จัดการห้องเรียน: ดร. อรุณรัตน์ ลินธุวนิชชาติ 14:00-15:45 วันที่ 4 พฤษภาคม 2564 Orchid D	มหาวิทยาลัยเทคโนโลยีราชมงคลรัตนโกสินทร์
---------------------------------------	---	---

Main Menu

- DEN25 การฝึกอบรมให้ความรู้ในแคมปัสสก็อตฟาร์มวิสาหกิจใหม่อรุณรัตน์
น้ำตาล ใจกลางพาร์ค' มิช' ครีบเนยเดลิส' ศักดา ภานุวนิชชาติ
มหาวิทยาลัยเทคโนโลยีราชมงคลรัตนโกสินทร์
สถาบันวิจัยพยาบาลและเทคโนโลยีแพทย์ประเพกษา เทคโนโลยี
878
- DEN26 การเพิ่มประสิทธิภาพการใช้พลังงานของเตาอาหารไฟฟ้าโดยการปรับปรุง
ลักษณะของทางเดินของผลิต
น้ำดื่ม เพื่อรองรับศ. ดร. วันนิศาช
รุ่งสว่างกุลน้ำดื่มที่ดี
880
- DEN27 การวิเคราะห์ผลกระทบของตัวแแหน่งการปิดปั๊มน้ำซึ่งเหล็กที่มีต่อความต้าน
ภายในแมตานกเก็ต
ศ.พิษณุ แสงสิงหนეด ลักษณ์ วันนิศาช
รุ่งสว่างกุลน้ำดื่มที่ดี
886
- DEN28 การควบคุมระบบจัดการพัฒนาเพื่อปรับให้ทักษะด้านภาษาอังกฤษเพื่อปรับเปลี่ยนอาชีว
ล่าหัวใจมนุษย์สากลรวมโดยใช้ไมโครคอนโทรลเลอร์ ARM7
ดำเนินไปประสิทธิรูป 'เรืองธุรกิจ ลูกอัจฉริยะ' สร้าง นวัตกรรม
มหาวิทยาลัยเทคโนโลยีราชมงคลรัตนโกสินทร์
มหาวิทยาลัยเทคโนโลยีราชมงคลรัตนโกสินทร์
894
- DEN29 ระบบควบคุมและจัดการพลังงานสำหรับระบบผลิตไฟฟ้าจากพลังงานทดแทน
ภานุศา ใจดี บุญอุ่น บัตร์คงด่าน
มหาวิทยาลัยเทคโนโลยีราชมงคลรัตนโกสินทร์
900
- DEN30 การฝึกอบรมทางการขอรับอนุรักษ์พลังงานสำหรับเด็กนักเรียน
ธนากร ถุนวน รังษีบันศิริบุญราษฎร์ ภราดร์วนิชชาติ กฤตกรวิภาดา มากุล
มหาวิทยาลัยราชภัฏมหาสารคาม
903

การศึกษาระบบให้ความร้อนในเตาปั๊กหลักสำหรับวัสดุเทอร์โมอิเล็กทริก

The study of heating system in crystal growth furnace for thermoelectric material

ประชุม ภานุวนิช¹, นรี คงมาลัย^{2*} และ ปรีดา ภานุวนิช²

¹ภาควิชาวิศวกรรมอุตสาหกรรม คณะวิศวกรรมศาสตร์ มหาวิทยาลัยเชียงใหม่ 〒 50100 เชียงใหม่ ประเทศไทย
E-mail: prida@chi.ac.th, jidewee.ag@gmail.com

²สถาบันวิจัยและพัฒนาคุณภาพฯ มหาวิทยาลัยเชียงใหม่ 〒 50100 เชียงใหม่ ประเทศไทย
E-mail: starpida@yahoo.com

บทคัดย่อ

การผลิตวัสดุเทอร์โมอิเล็กทริกในเตาปั๊กหลักจำเป็นต้องคำนึงถึงการควบคุมอุณหภูมิที่ดีที่สุด แต่ในทางปฏิบัติ พบว่าอุณหภูมิที่ได้จากการคำนวณของระบบไม่สามารถใช้ได้จริง จึงต้องหาวิธีการคำนวณอุณหภูมิที่สามารถนำไปใช้ได้จริง ในการศึกษาในครั้งนี้ ได้ใช้โปรแกรม Simulink คำนวณแบบ First Order System ที่มีสัญญาณข้อมูลเป็น Unit step function ซึ่งได้รับผลลัพธ์ค่า gain 830 และ time constant 11.25 วินาที สำหรับอุณหภูมิที่ต้องการจะได้ 58% เมื่อเทียบกับอุณหภูมิที่คำนวณโดยใช้ Linear regression พบว่าอุณหภูมิที่คำนวณโดยใช้ Linear regression ต่ำกว่าอุณหภูมิที่คำนวณโดยใช้ First Order System ประมาณ 8%

คีย์ワード

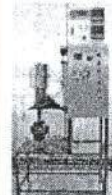
The process of thermoelectric material building must use single crystal growth furnace. The temperature control of melting is one of the main factors on determining the physical properties of material. The exceeding of the actual system will help control the temperature more accurate. This research is to improve the parameter model of heating system of single crystal growth furnace by Simulink Program. The actual system was tested by using Unit step function signals which can operate output as first order system with a time constant and gain at 830 seconds and 11.25 times, respectively. When used this parameters in model system, the output of model system will be close to the output of the actual system 58%. Besides, the system was improved by creating a new gain function by using

the linear regression. It was found that the output of the model system will be closer to the actual 81%.

Keyword: Transistor function, Linear reg function, First order system

1. ทั่วไป

เรามุ่งเน้นที่การศึกษา วงจรไฟฟ้า ที่จะสามารถคำนวณอุณหภูมิที่ต้องการได้โดยตรง แต่ในทางปฏิบัติ พบว่าอุณหภูมิที่คำนวณโดยใช้ Linear regression ต่ำกว่าอุณหภูมิที่คำนวณโดยใช้ First Order System ประมาณ 8% จึงต้องหาวิธีการคำนวณอุณหภูมิที่สามารถนำไปใช้ได้จริง ในการศึกษาในครั้งนี้ ได้ใช้โปรแกรม Simulink คำนวณแบบ First Order System ที่มีสัญญาณข้อมูลเป็น Unit step function ซึ่งได้รับผลลัพธ์ค่า gain 830 และ time constant 11.25 วินาที สำหรับอุณหภูมิที่ต้องการจะได้ 58% เมื่อเทียบกับอุณหภูมิที่คำนวณโดยใช้ Linear regression พบว่าอุณหภูมิที่คำนวณโดยใช้ Linear regression ต่ำกว่าอุณหภูมิที่คำนวณโดยใช้ First Order System ประมาณ 8%

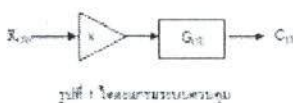


รูปที่ 1 תנורเจือ

โดยการศึกษาในครั้งนี้ ได้รับอนุมัติจากอาจารย์ ดร. ประชุม ภานุวนิช ผู้อำนวยการสถาบันวิจัยและพัฒนาคุณภาพฯ มหาวิทยาลัยเชียงใหม่ วันที่ 20 พฤษภาคม พ.ศ. 2554 สำหรับการนำเสนอผลงานวิจัยในงานประชุมวิชาการ “วิศวกรรมศาสตร์ มหาวิทยาลัยเชียงใหม่ ประจำปี พ.ศ. 2554” จัดขึ้นโดยสถาบันวิจัยและพัฒนาคุณภาพฯ มหาวิทยาลัยเชียงใหม่ วันที่ 20 พฤษภาคม พ.ศ. 2554 ณ ห้องประชุม สถาบันวิจัยและพัฒนาคุณภาพฯ มหาวิทยาลัยเชียงใหม่ จังหวัดเชียงใหม่ ประเทศไทย

2. 計算機

ระบบจัดซื้อขายยา (Pharm Order System) เว็บไซต์: www.pharmorder.com



Digitized by srujanika@gmail.com

$$V_{\text{ext}} = V_{\text{ext}}(R_{\text{ext}}) \quad (1)$$

$$E_{\text{ext}} = \frac{1}{2} \quad (2)$$

การบันทึกผลิตภัณฑ์ที่มีคุณภาพดีที่สุดในประเทศไทย ด้วยการติดต่อผู้ผลิตและผู้จัดจำหน่าย

$$v_{\text{fr},t} = \delta \frac{x}{x + a} \quad (3)$$

ເມື່ອຕົກລາງ (ນີ້ຈະມາດີເລີກຕົກຕໍ່ຫຼາຍ

$$z = \frac{\text{Mean} - \text{Value}}{\text{SD}}$$

การวิเคราะห์ผลลัพธ์ที่ได้รับจากการทดสอบทางคณิตศาสตร์ (Mathematics) ของนักเรียนในชั้น T ดังแสดงในตารางที่ 5 ตามที่แสดง ผลลัพธ์ทางคณิตศาสตร์ของนักเรียนที่มีค่าเฉลี่ยประมาณ ที่ 79.7 และค่าเบี่ยงเบน 0.832 ของผลลัพธ์ทางคณิตศาสตร์ (Mean Value: 79.7 และ Standard Deviation: 0.832)



รูปที่ 2 แผนผังแสดงตัวอย่างการจัดทำแผนที่ทางภูมิศาสตร์

ສັນຕິພາບ ດີເລະກົມພາບ ອະນຸຍາວຸດທະນາຖາວອນ ຖ້າມີຄວາມ ດີເລະກົມພາບ ສຳເນົາ

$$U(x) = \frac{1-a}{S^2 x} \quad (E)$$

မြန်မာနိုင်ငြပ်ရုံး၊ ရန်ကုန်မြို့၊ နယ်မြေ

$$f_{\text{eff}}(z) = R_1(1 - e^{-\frac{z}{L}}) \quad (61)$$

“*multiple linear regression*” ចាប់បូណ្ឌនឹងពីរតួអនុគមន៍ដែលបានបង្កើតឡើងនៅក្នុងសាស្ត្រ និងសាស្ត្របណ្តុះបណ្តាល។

$$Y = 4k - 8 \quad (7)$$

有權的監督機關應定期檢討並評定各項政策

$$E = \sum_i \|f_i - f_i(x_i)\|^2 \quad (3)$$

Digitized by srujanika@gmail.com

$$F = \sum_{i=1}^n \{Y_i - (A\lambda'_1 + \tilde{\mu}_i)\}^2 \quad (9)$$

หาก A และ B คือจำนวนเต็มบวกใดๆ แล้ว $\frac{A}{B}$ และ $\frac{B}{A}$ ล้วนเป็นจำนวนจริง

$$m^2 \nabla \cdot \vec{v}_f(A) = \nabla \cdot \vec{v}_f \quad (10)$$

$$\left(\sum_{i=1}^n x_i \right) g = \sum_{i=1}^n x_i^2 + \sum_{i=1}^n y_i$$

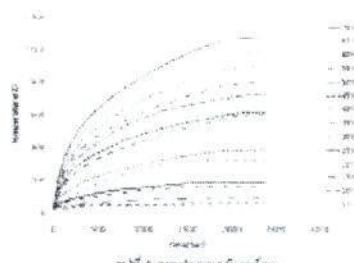
$$z = \frac{\pi \sum t_i t_j z^j (\sum t_i x^i \sum t_j x^j)}{\pi \sum x^{2j} + \sum x^{ij}} \quad (12)$$

$$S = \frac{(\sum y_{ij} (\sum x_{ij})^2 - \sum x_{ij} \bar{x}_{ij} \sum y_{ij})}{n(\sum x_{ij}^2) - (\sum x_{ij})^2} \quad (13)$$

วันนี้ ไม่สามารถตั้งค่าการตัดสินใจใน First Order System ให้สามารถตัดสินใจด้วยตัวเองได้ แต่ต้องมีผู้ช่วยที่ชื่อว่า “Team members” ทำให้เราสามารถตัดสินใจด้วยตัวเองได้ 20% และต้องมีผู้ช่วยที่ชื่อว่า “Team members” ทำให้เราสามารถตัดสินใจด้วยตัวเองได้ 80% ซึ่งเป็นผลลัพธ์ของการตัดสินใจของผู้ช่วยที่ต้องการให้เราตัดสินใจด้วยตัวเอง แต่ต้องมีผู้ช่วยที่ชื่อว่า “Team members” ทำให้เราสามารถตัดสินใจด้วยตัวเองได้ 20% และต้องมีผู้ช่วยที่ชื่อว่า “Team members” ทำให้เราสามารถตัดสินใจด้วยตัวเองได้ 80% ที่มีค่า 11.25 ยูนิตต่อวัน ดังนั้นจึงต้องคำนวณ First Order System In Strength Program คุณภาพ 4

3. 方言的典故与俗语

ผลการประเมินทักษะภาษาอังกฤษ ตามเกณฑ์มาตรฐาน English Proficiency ที่ต้องการได้รับ 5 ถึง 70 % โดยเพิ่มขึ้นต่อเนื่อง 9% ต่อครั้งโดยใช้ตัวแปรทางคณิตศาสตร์ 10 วันที่ ไตรมาสที่ 3

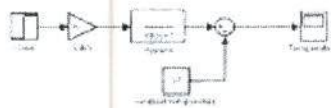


కుప్పే వ గాగాచేట్లాస్క్రమ్మికాశ్చాప

תְּהִלָּה וְעַמְּדָה : אֲוֹדָה וְבָרֵךְ וְבָרֵךְ

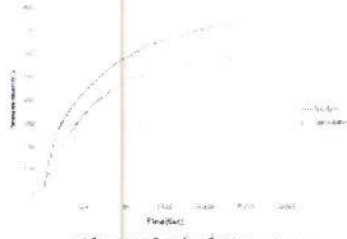
Power input (%)	Final Value	Time Constant	Gain
5	8	670	7.00
10	31	400	5.80
15	85	650	6.13
20	129	500	7.30
25	158	570	7.32
30	205	670	10.73
35	258	600	13.23
40	273	740	15.00
45	289	510	13.68
50	300	510	14.54
55	312	630	14.53
60	325	640	14.58
65	354	620	15.15
70	385	510	15.01
Average	-	630	11.25

គ្រប់គ្រងការងារដែលមិនមែនសាខាដែរ ត្រូវបានអនុវត្តន៍យកចុចចុង
ដោយប្រើប្រាស់ Unit Step Function ឬខ្លួនជាប្រើប្រាស់ First Order System
ដើម្បីស្វែងរករាយការងារដែលមិនមែនសាខាដែរ (Steady State) ទៅរាយការងារ (Final



卷之四

สำหรับคนที่ต้องการลดน้ำหนัก ที่ 50% ของ body weight ให้ดูผลลัพธ์ในตารางด้านล่าง



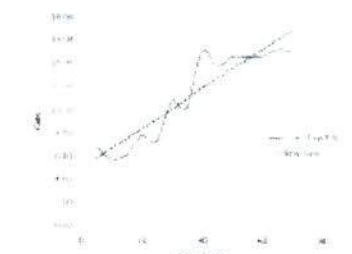
The 5-year survival rate was 50% in all patients.

การวิเคราะห์ผลลัพธ์ที่ได้จากการทดสอบที่ได้รับ 21% ของตัวอย่าง
แสดงว่าตัวอย่างนี้ 50% ของตัวอย่างมีผลลัพธ์ที่ดีกว่า
ตัวอย่างที่ไม่ได้รับยาที่ดีกว่าตัวอย่างที่ไม่ได้รับยา 20%
การทดสอบที่ได้รับ $x = 100$ power $\alpha = 0.05$ ตัวอย่างที่ 10 ตัว
13 ตัวอย่างที่ได้รับยา A ตัว 8 ตัวที่ได้รับยา B ตัว 5
ตัวอย่างที่ 14 ตัวอย่างที่ได้รับยา B ตัว 10 ตัวที่ได้รับยา A
ตัว 4 ตัว

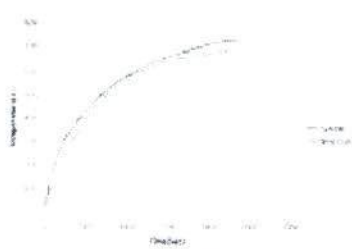
Zhang et al. 153

ເຫັນວ່າມີການປະຕິບັດການຄ້າຂອງລົງທະບຽນ
ໃນສະຖານະ ປະເທດໄຟເໜີເສດຖະກິນ / ຕະຫຼາກສະຫະລຸງລົງທະບຽນແລ້ວ
ການປະຕິບັດການຄ້າຂອງລົງທະບຽນຢູ່ການຄ້າຂອງລົງທະບຽນ

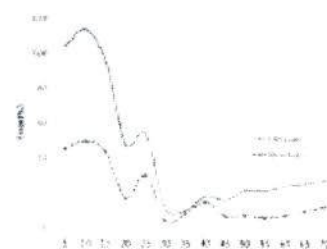
Go Back



รูปที่ 6 ผลของการศึกษาความถี่ของระบบควบคุมอุณหภูมิ



รูปที่ 7 ผลของการศึกษาความถี่ของระบบควบคุมอุณหภูมิ



รูปที่ 8 ผลของการศึกษาความถี่ของระบบควบคุมอุณหภูมิ

โดย Linear square regression สำหรับรูปที่ 6 ตารางข้อมูลได้
 $Q_{air} = 0.17 \times \text{Input Power} + 4.69$ ความแม่นยำของเส้นตรงประมาณ
10% ความแม่นยำของเส้นตรงประมาณ 10%

4.8 ผลลัพธ์

- [1] Katsuhiko Ogata, "Modern Control Engineering", Prentice-Hall, Fourth Edition, 2001.
[2] Su-Zhong Kang, Chuanqiang Zheng, Weihe Xu, Diewei, "Research of PID Parameter Self-Tuning Applied in Temperature Control System", The Eighth International Conference on Electronic Measurement and Instruments (ICEMI2007)
[3] Karman M, Moudgalya, Indraprat Astra, "A virtual laboratory for distance education", Technology for Education (T4E) 2010 International Conference on, Manila, 13 July 2010
[4] Xiao-Bin Li, Jing Lu, Sheng-Bin Jiao, Jun-Qian Guo, "Intelligent PID Control System for Vacuum Annealing Furnace Workpiece Temperature", Proceedings of the Third International Conference on Machine Learning and Cybernetics, Shanghai, 26-29 August 2004
[5] Enrico Diegu, Bojan, Kadi, Erken and Seda Pusturkoglu, "Experimental Auto-tuning PID Control of Temperature Using Microcontroller", EUROCON 2006, Belgrade & Montenegro, Belgrade, November 22-24, 2006
[6] J. Lammeloo, R. Lammeloo, L. Interstijnt, S. Pannarajit, C. Bannet-Chauvel, "Thermoelectric properties of Bi2Te3/Sn1.52 Te3 materials prepared by Bridgman method", รายงานการประชุมวิชาการระดับชาติวิศวกรรมศาสตร์ ครั้งที่ 3, สถาบันวิจัยวิทยาศาสตร์และเทคโนโลยีแห่งประเทศไทย ประจำปี 2550

4.9 สรุป
จากการศึกษาความถี่ของระบบควบคุมอุณหภูมิ พบว่า ความถี่ของระบบควบคุมอุณหภูมิเป็น First Order System เมื่อเราเพิ่มความถี่ของระบบควบคุมอุณหภูมิให้สูงขึ้นจาก 500 Hz ไปที่ 1000 Hz ความเร็วในการลดอุณหภูมิจะลดลง แต่เมื่อเพิ่มความถี่ของระบบควบคุมอุณหภูมิให้สูงขึ้นจาก 1000 Hz ไปที่ 2000 Hz ความเร็วในการลดอุณหภูมิจะเพิ่มขึ้น แต่เมื่อเพิ่มความถี่ของระบบควบคุมอุณหภูมิให้สูงขึ้นจาก 2000 Hz ไปที่ 3000 Hz ความเร็วในการลดอุณหภูมิจะลดลง แต่เมื่อเพิ่มความถี่ของระบบควบคุมอุณหภูมิให้สูงขึ้นจาก 3000 Hz ไปที่ 4000 Hz ความเร็วในการลดอุณหภูมิจะเพิ่มขึ้น แต่เมื่อเพิ่มความถี่ของระบบควบคุมอุณหภูมิให้สูงขึ้นจาก 4000 Hz ไปที่ 5000 Hz ความเร็วในการลดอุณหภูมิจะลดลง